

صلاحية أطيان تكوين الفتحة لصناعة القرميد في منطقة الزوية / محافظة صلاح الدين

اساور طلال ابراهيم ، سوسن حميد المهاز ، عبد السلام مهدي صالح

قسم علوم الارض التطبيقية ، كلية العلوم ، جامعة تكريت ، تكريت ، العراق

الملخص

تم خلال هذا البحث دراسة صلاحية أطيان تكوين الفتحة لصناعة القرميد في منطقة الزوية / محافظة صلاح الدين. اعتمدت الدراسة على الاستطلاع الميداني لأربعة مواقع مختلفة لبيان مدى صلاحيتها وملائمتها حقلياً للحصول على المادة الأولية لصناعة القرميد اعتماداً على سماكة التكوين وامتداده وسمك الصخور الغطائية الموجودة فوق الطبقة الصناعية. أظهرت نتائج التحليل المعندي للصخور الطينية بواسطة الأشعنة السينية الحادنة بأنها تتكون من المعادن الطينية الآتية: الالات، والباليغورسكايت، الكلورايت، الكاوفولينايت والمونتموريلونايت ، وكذلك بعض المعادن غير الطينية مثل: الكوارتز، الكالسait، والدولومايت بصورة رئيسية والفلدسبار، الجبسوم، الهيماتايت والكروثايت بنساب أقل ، كما بينت نتائج التحليل الكيميائي لعينات الدراسة بأنها تتكون من عدة اكسيدات رئيسية وهي السيليكا، اوكسيد الالمنيوم، اوكسيد الحديد، اوكسيد المغنيسيوم، اوكسيد البوتاسيوم، اوكسيد الكالسيوم، اوكسيد الصوديوم، الكبريتات والكلوريات.

تم تحديد الخواص الفيزيائية لعينات الدراسة من ناحية التحليل الحجمي واللدونة وبينت النتائج أنها من نوع (Sandy Mud) و (Mud) و (Clay). وتتصف بأنها لينة ومتعددة اللدونة ذات لدونة عالية ويمكن تشكيلها بسهولة وملائمة للصناعات السيراميكية بصورة عامة وللقرميد بصورة خاصة.

تم تصنيع (120) عينة من القرميد بالحجم المختبري (1 * 4 * 8) سم بطريقة الكبس شبه الجاف وتم حرقها بدرجات حرارة (900, 1000, 1050) °م لغرض إجراء الفحوصات التقديمية (الفيزيائية والميكانيكية) عليها والتي تضم: اللون والتقلص الطولي وامتصاص الماء ومعامل التشبع المائي والتzerه والقوه. وبينت نتائج هذه الفحوصات نقصاناً في نسبة امتصاص الماء ومعامل التشبع المائي ومدى التzerه مع زيادة درجة حرارة الحرق كما زادت نسبة التقلص الطولي والحجمي في معظم عينات الدراسة مع زيادة درجة حرارة الحرق أما اللوان العينات فقد تراوحت بين البني الفاتح إلى الأصفر الباهت.

بعد إجراء التحليل المعندي لمسحوق عينات القرميد بعد الحرق على درجات حرارة الحرق المختلفة أفق الذكر بواسطة تقنية الأشعة السينية الحادنة (XRD) بين التحليل اختفاء المعادن الأصلية المكونة للمواد الأولية وتحلل المواد الجيرية بتأثير التفاعلات الهدمية التي أدت إلى تشكيل أنظمة جديدة مثل: (anorthite, forsterite, diopside, wollastonite and mullite).

تم مطابقة الفحوصات التقديمية (الفيزيائية والميكانيكية) لعينات القرميد المختبري مع المواصفة القياسية الأمريكية 2009, ASTM C1167-03، توصلت الدراسة إلى تصنيف عينات القرميد ضمن الدرجة (2, 3).

المقدمة

الحالية صلاحية أطيان تكوين الفتحة لصناعة القرميد بهدف الوصول إلى نوعية من القرميد ذات مواصفات وجودة عالية. لاتوجد دراسات سابقة حول صناعة القرميد في المنطقة ولكن توجد دراسات في مناطق أخرى منها(6) درست صلاحية اطيان تكوين العاجم الكاوفولينية في الصحراء الغربية بعد خلطها مع رمل ام ارضمة ورمل الاخضر بنسب مختلفة لتصنيع قرميد الاسطح السيراميكي بدرجات حرارة مختلفة تصل الى (1150) °م لوقت انضاج ساعة واحدة.

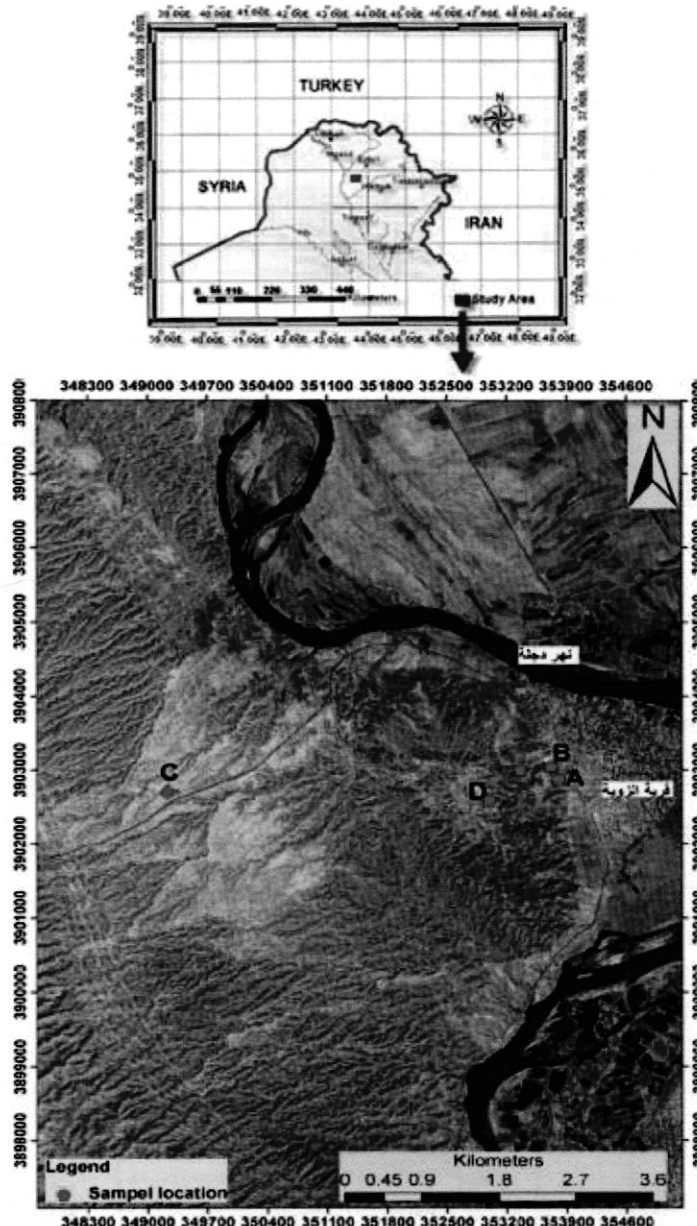
(7) درست صلاحية أطيان الحسينيات بعد خلطها مع رمل ام ارضمة بنسب مختلفة لتصنيع بلاطات السقوف السيراميكية بدرجات حرارة تصل الى 1100 °م لوقت انضاج 4 ساعات،(8) قام بدراسة حول صلاحية بعض الاطيان الكاوفولينية في تكوين عاجم لصناعة قرميد الاسطح السيراميكي، واعتمد طريقة الطحن الجاف والتشكيل شبه الرطب وبدرجات حرارة مختلفة وتوصل الى امكانية تصنيعها من هذه الاطيان.

يعتبر تكوين الفتحة من التكوينات الواسعة الانتشار في وسط وشمال وشرقى العراق ويتألف التكوين من دورات رسوبية لاغونية كاملة (تعاقبات من الحجر الطيني والغربي) (Clay & Silty stone) والحجر الصلصالي (Marl) والحجر الجيري (Marly limestone) والجبس أو الانهيدريت (Gypsum or Anhydrite)، وأحيانا تكون هذه الدورات ناقصة بفقدانها للحجر الجيري (1) لذلك يعد تكوين الفتحة ذا فائدة اقتصادية لتوفير مواد الاولية للبناء بأنواعها فنظراً لحاجة البلد إلى إيجاد بدائل من السقوف الكونكريتية الشائعة الاستخدام، لذلك فقد تمت دراسة وتقدير اطيان تكوين الفتحة لإنتاج القرميد من خلال التوصل إلى النسب الأفضل للخلط ودرجات الحرارة المناسبة لصناعة القرميد المطابق للمواصفات القياسية العالمية. ويسبب الانكشاف الواسع لتكوين الفتحة في محافظة صلاح الدين ولاحتواها على كميات كبيرة من الترسبات الطينية المختلفة ولعدم وجود معامل القرميد في المحافظة على رغم من التوسع العمراني فيها، لذلك فقد تناولت الدراسة

موقع و جيولوجية منطقة الدراسة:

تقع منطقة الدراسة ادارياً ضمن محافظة صلاح الدين / شمال العراق في منطقة الغاطس الجنوبي الشرقي من طيه خانوكة المدببة بالقرب من قرية الزوية (الشكل 1).

يهدف البحث إلى دراسة امكانية استغلال التربات الطينية العائدة إلى تكون الفتحة لغرض صناعة القرميد لوجود مكافئها وتوافرها بكميات كبيرة ومن ثم تحديد مواصفات وخواص المواد المنتجة وذلك بعد اجراء الفحوصات التقديمية على المواد الاولية من الناحية الفيزيائية والكيميائية والمعدنية وبيان مدى صلاحيتها لصناعة القرميد.



الشكل (1) بين الخريطة الموقعة لمنطقة الدراسة

(Member) الذي يمتاز بالبنية الصخري والامتداد الجانبي متغير السمك ومتتملاً بتتابعات سميكة من صخور الجبس والمارل الأحمر والأخضر مع وجود طبقات رقيقة من الحجر الجيري الغني بالمحجرات إن التغير في الألوان للطبقات الطينية المنكشفة يعود إلى بيئة الترسيب حيث الطبقات الحمراء تدل على البيئة القارية والطبقات الحضراء تدل على البيئة البحرية العميق نسبياً" (3).

تقع ضمن نطاق أقدام الجبال (Foothill zone) التابع للرصيف غير المستقر (Unstable shelf) وحسب تقسيمات العراق التكتونية (2). قسم تكون الفتحة إلى عضويين هما العضو السفلي (Lower Member) الحاوي على تربات مثالية للسبخة (Sabkha) منتمية بتتابعات صخور المتبخرات (Evaporites) وصخور الحجر الجيري السميكة والحجر الطيني المخضر، والعضو العلوي (Upper Member)

والامتداد والتتابعات الطباقيّة وعدم وجود طبقة خطائيّة سميكّة وقربها من الطرق الرئيسيّة ووسائل النقل وسهولة وصول الآليات إليها لأغراض القلع والنقل. تم إسقاطها على الخارطة الموقعيّة للمنطقة واستخدام جهاز (GPS) لإيجاد إحداثيات التشريف والتثمين والارتفاع عن مستوى سطح البحر بنظام (UTM System). وجمعت النماذج من الطبقات المختلفة للصخور الطينيّة المنكشّفة في المقاطع قيد الدراسة بطريقّة نمذجة القناة (channel sample).

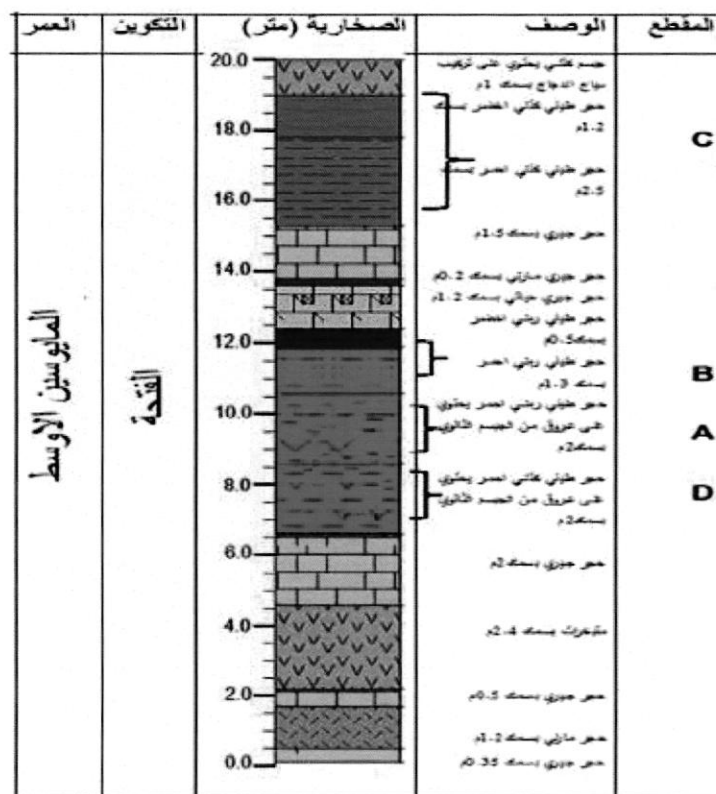
الوصف الحقي:

تتألّف مقاطع قيد الدراسة والتي يتراوح سمكها بين (3-4) م من الصخور الطينيّة الحمراء والخضراء والجبيس، وتظهر الصخور الطينيّة حمراء في الجزء الأسفل، تعلوها الصخور الطينيّة الخضراء والجبيس في الجزء العلوي، وتحتوي الصخور الطينيّة على عدة فوّاصل،

الشكل (2).

ترسب تكون الفتحة ضمن دورة الماويسين الروسية ويغطي مناطق أقدام الجبال بشكل كامل وتنتمي ترباته باتجاه الجنوب وصولاً إلى الكويت (4)، تمتاز منطقة الدراسة بوضع جيومورفولوجي وطوبوغرافي بسيط، حيث إن المنطقة منبسطة مع وجود بعض التموجات البسيطة والمتباعدة وتظهر المكافحة الصخرية لتكوين الفتحة في المنطقة بشكل واسع ومنتشرة على سطح الأرض وبتروح سمك التكوين المنكشّف في مقاطع الدراسة بين (2.5-3) م. وطوبوغرافية المنطقة متأثرة بشكل رئيسي بالوضع التركيبي والصخاري إضافة إلى عوامل التعرية بسبب نهر دجلة والوديان الموجودة في المنطقة والتي تحدّر طوبوغرافيا باتجاه مجرى النهر، وإن الخصائص الصخرية والتراكيبية والمناخ وعوامل التعرية هي عوامل فعالة في إعطائها الشكلية الحاليّة (5).

المواد وطرق العمل تم اختيار أربعة مناطق مختلفة (A, B, C, D) اعتماداً على المعطيات الجيولوجية المشجعة لها من حيث السمك



شكل(2) المقاطع التكميلي التقريري لتكوين الفتحة في منطقة الدراسة

البناء في بغداد للنماذج قبل الخلط وحرقت النماذج بعد الخلط في جامعة صلاح الدين في اربيل. تم تهيئه العينات وطحنها إلى أحجام ناعمة وخلط المواد جيداً لغرض مجانستها كيميائياً وفيزيائياً، وذلك بالتقليب المستمر للنموذج ومن ثم يتم تحمير النموذج عن طريق إضافة كمية مناسبة من الماء تقدر بحدود (8%) واضافة نسب معينة من رمل تكوين انجانة إلى عملية الكيس الثانية (جدول 1) وتختبر من يومين إلى ثلاثة أيام وذلك لتحسين خواص المنتج، وبعد ذلك يتم اخذ

طرق العمل وتحظير العينات:

تم عمل (15) عينة من القرميد المختبري بأبعاد (1 * 4 * 8) سم لكل عينة من الواقع الأربعة للمادة الأولية فقط ثم تم تصنيع (15) عينة بنفس الابعاد بعد خلط المادة الأولية مع رمل انجانة وللمواقع الاربعة، أي بما يعادل (120) عينة من القرميد المختبري لمجموع العينات ككل بطريقة الكبس شبه الجاف وتم حرقها بدرجات حرارة 900 ، 1000 ، 1050 م° في وزارة العلوم والتكنولوجيا/مركز بحوث

تم حرق العينات في الفرن العالي الحرارة وبدرجات حرارة (900, 1000, 1050) درجة مئوية بزيادة زمنية مقدارها (10) درجات مئوية لكل دقيقة وبفترة إنضاج (Soaking Time) مقدارها ساعتين للنمذج المصنعة من عملية الكبس الأولى وبرنامج حرق 50 م/ساعة وبفترة إنضاج (Soaking Time) ساعة واحدة للنمذج المصنعة من عملية الكبس الثانية.

(80 غم) من كل نموذج ووضعها في قالب ثم توضع في جهاز المكبس الهيدروليكي أحادي المحور من نوع أمريكي (X-Press SR: 78044) وكبسها بضغط مقداره (250) كغم اسم 2، ليكون الشكل الناتج هو متوازي المستويات بأبعاد (8*4*1) سم 3 لغرض أداء الفحوصات التقييمية عليها.

تم تجفيف عينات القرميد المختبرى بعد تشكيلها في فرن التجفيف بدرجة حرارة (40) م° ولمدة (24) ساعة وبعدها اخذ قياس أبعاد العينات بعد التجفيف.

جدول (1) مكونات الخلطات قيد الدراسة

درجة حرارة الحرق			المادة الأولية		رمز العينات قبل الخلط
1050	1000	900	رمل أنجانة	طيان الفتحة	
A3	A2	A1	0	100	A
B3	B2	B1	0	100	B
C3	C2	C1	0	100	C
D3	D2	D1	0	100	D

درجة حرارة الحرق			المادة الأولية		رمز العينات بعد الخلط
1050	1000	900	رمل أنجانة	طيان الفتحة	
A3	A2	A1	10	90	A ^s
B3	B2	B1	10	90	B ^s
C3	C2	C1	20	80	C ^s
D3	D2	D1	30	70	D ^s

، MgO (Fe_2O_3)، بإستخدام جهاز الأشعة السينية الوميضية (XRF)، أما حساب مقدار الفقدان بالحرق (L.O.I) فقد تم تعينه بحرق (1 غم) من كل نموذج بدرجة حرارة (1000) م° ولمدة ساعتين ثم حساب الفرق بين الوزنين للنموذج.

▪ **فحوصات تقييم القرميد:** تضمنت الفحوصات التقييمية (الفيزيائية والميكانيكية) لها والتي تضم: التقلص الطولي ونسبة امتصاص الماء ومعامل التشبع المائي والتzerh والقوية. كما جرى تقييم المظهر العام للقرميد من حيث اللون وقياس الأبعاد والزوايا والاحافات والسطح الخارجية إضافة إلى فحص الأشعة السينية الحادثة (XRD) لخمسة عينات للتعرف على أطوارها المعدنية المتكونة بعد الحرق، وبعد ذلك تصنيف القرميد المنتج وفق المواصفة القياسية الأمريكية C1167-03، 2009 ASTM جدول(2).

حضرت عينات الدراسة إلى نوعين من الفحوصات المختبرية المبينة أدناه

فحوصات تقويم الترببات الطينية لتكوين الفتحة: شملت تحليل التدرج الحجمي بطريقة الهيدروميتр للتعرف على نسبة محتواها من الرمل والطين والغرين والتصنيف النسيجي لهذه التربات من خلال رسم العلاقة بين النسب المئوية الوزنية للمكونات الأساسية (رمل وغرين وطين) على مثلث فولك (9)، إضافة إلى فحص دونتها حسب تقسيمات حدود أتيربيرك (Atterberg). اجري فحص الأشعة السينية الحادثة (XRD) للتعرف على أنواع المعادن الطينية وغير الطينية بعد إجراء بعض المعالجات على الشراائح الموجهة باستخدام الأثيلين كلايكول، وبالتسخين بدرجة حرارة (350) م° و(550) م°. كذلك إجراء التحليل الكيميائي لبيان محتواها من اكاسيد العناصر الرئيسية SiO_2 , Cl , CaO , Al_2O_3 , SO_3 , Na_2O , K_2O .

جدول (2) المعاصفة القياسية الأمريكية 2009 C1167-03

درجة القرميد	امتصاص الماء (%)	معامل التشبع المائي	القوة (N)	التzerh
1	8	0.76	300	معدوم
2	13	0.82	225	خفيف
3	15	0.86	225	متوسط

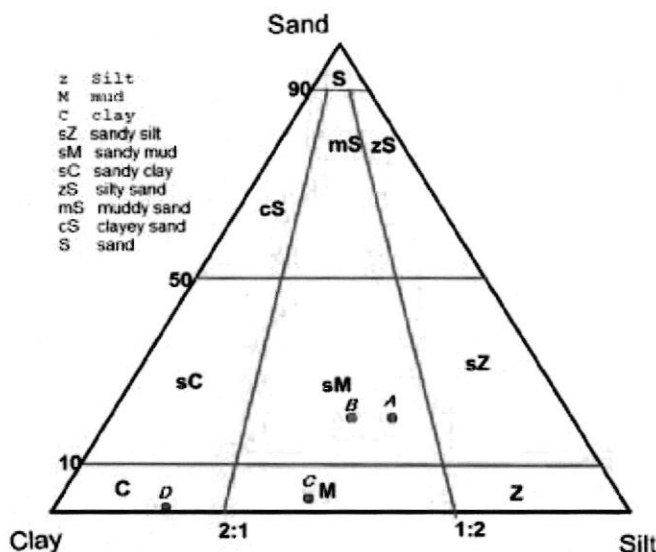
نراوحت بين (42% - 49%)، أما نسبة الطين فقد نراوحت بين (31% - 38%)، والرمل (20%-61%). أما الموقعين (C, D) فان نسبة الطين هي السائدة ضمن المكونات الحجمية وتتراوح بنسبة بين (54% - 87%)، ونسبة الغرين نراوحت بين (21% - 43%)، ونسبة الرمل بين (1% - 3%)، (الجدول 3). وتم تمثيل العلاقة بين النسب المئوية الوزنية للمكونات الأساسية (الطين والغرين والرمل) لعينات الدراسة على مثلث التصنيف فولك (9) (الشكل 3).

▪ **نتائج فحوصات تقويم التربسات الطينية لنماذج الفتحة:**
بعد توضيح طرائق إجراء الفحوصات التقديمية للعينات المحروقة بدرجات حرارة (900, 1000, 1050) م°، سيتم توضيح نتائج هذه الفحوصات ومناقشتها لغرض تقديرها لصناعة القرميد من خلال مقارنتها بالمواصفة القياسية الأمريكية.

▪ **نتائج فحوصات التدرج الحجمي:**
يبينت نتائج فحوصات التدرج الحجمي لعينات الدراسة إن نسبة الغرين هي السائدة من المكونات الحجمية في الموقعين (B, A) والتي

الجدول (3) نتائج التحليل الحجمي لنماذج الدراسة

Sample No.	رقم التموزج	الطين (%)	الغرين (%)	الرمل (%)
A	38	42	20	
B	31	49	20	
C	54	43	3	
D	87	21	1	



الشكل (3) مخطط التوزيع النسبي لأجزاء الطين والرمل والغرين حسب تصنيف فولك (9)

▪ **نتائج فحوصات حدود أتيربيرك (Atterberg):** يتراوح حد السيولة بين (13.51% - 41.54%)، أما معامل اللدونة فتراوح بين (13.29% - 33.29%). (الجدول 4).

▪ **نتائج فحوصات حدود أتيربيرك (Atterberg):** يتراوح حد اللدونة لعينات الدراسة بين (27.20% - 34.23%)، ويتراوح حد

الجدول (4) يوضح نتائج فحوصات حدود أتيربيرك لنماذج الدراسة

Sample No.	حدود أتيربيرك (Atterberg)		
	Liquid limit (L.L) (%)	Plastic limit (P.L) (%)	Plasticity Index (P.I) (%)
A	41.54	28.03	13.51
B	52.10	34.23	17.87
C	50.35	28.34	22.01
D	60.49	27.20	33.29

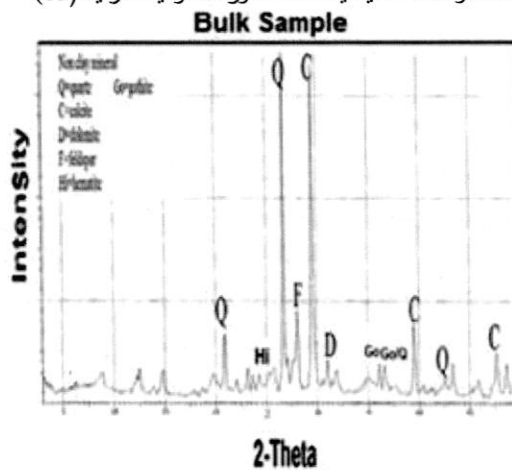
نماذج الموقعين (B, C) تقع ضمن حقل اللدونة (plastic)، أما بالنسبة لنماذج الموقع (D) تقع ضمن حقل عالي اللدونة (Plastic)، (الجدول 5).

حيث تم تقسيم عينات الدراسة بالاعتماد على معامل اللدونة وحسب تصنيف بادنيكوف (10)، حيث يلاحظ إن نماذج الموقع (A) تقع ضمن الحقل متواسط اللدونة (Moderately plastic) في حين

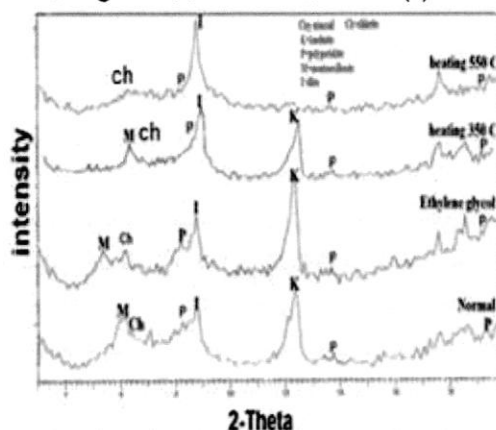
الجدول (5) توزيع نماذج الدراسة حسب معامل لدونتها إعتماداً على تصنيف بانديكوف (10)

Classification	Plasticity Index	Sample No.
Super plastic	> 25	D
plastic	15 - 25	B ,C
Moderately plastic	7 - 15	A
Poorly plastic	< 7	
Non plastic	Not forming a plastic mass	

(17)، وأن وجود الجبسوم بنسبة عالية ضمن العجينة المهمأة لصناعة القرميد يؤدي إلى زيادة الأملاح وظهور التزهير بعد أن يتعرض القرميد إلى مصدر ماء كالملط أو المياه الأسس مما ينشط الخاصية الشعرية وتجمع الأملاح على السطح الخارجي للقرميد المفخور مما يؤدي إلى مخالفة المواصفات القسمية المعمدة ورداة نوعية القرميد (15).



الشكل (4) مخطط حيود الأشعة السينية للنماذج الكلية



الشكل (5) مخططات حيود الأشعة السينية لجزء الطين وبمعاملات مختلفة

نتائج التحليل الكيميائي:

بين التحليل الكيميائي لعينات الدراسة ان نسبة السليكا تشكل النسبة الرئيسة في النماذج الأربع المدروسة جميعها، فضلاً عن احتواء العينات على نسب متفاوتة من الالومينا واكاسيد الحديد والكلاسيوم والمغنيسيوم، وكذلك احتواها على اوكسيد الصوديوم (Na_2O) والكبريتات (SO_3) بنسب قليلة جداً مقارنة مع بقية الاكسيد، وكما في (الجدول 6).

نتائج فحوصات الأشعة السينية الحادة (XRD):

تبين نتائج التحليل بالأشعة السينية الحادة (XRD) وجود بعض المعادن الطينية في نماذج الدراسة والتي تشمل: الاليات والباليغورسكايت والكلورايت والكاولينايت والمونتموريلونايت، وكذلك بعض المعادن غير الطينية مثل: الكوارتز والفلسبار والكلالسيات والدولومايت والهيمايات والكوثايت والجبسوم بنسبة قليلة جداً، كما في الاشكال (4,5). يعد معدن الاليات من المعادن غير القابلة للانتفاخ (Non-swelling)، ويعزى سبب ذلك إلى أن الفragates البينية مابين الصفائح تكون جميعها حاوية على البوتاسيوم فضلاً عن ذلك تكون هذه الأوصار مابين الصفائح قوية جداً (11). أما معدن الباليغورسكايت من المعادن الطينية التي لها القابلية على التبادل الأيوني، كونها تحمل ايونات للعناصر في موقع بلورية غير ثابتة وبالتالي فإن تحرر هذه العناصر قد يؤدي إلى رداء القرميد (12)، وإن زيادة نسبة معدن المونتموريلونايت عن (20%) ضمن العجينة المهمأة لصناعة القرميد يعد عاماً سلبياً، كونه من المعادن الانتفاخية التي تمتتص الماء من الجو وبذلك يسبب تشقاً للقرميد في أثناء مدة التجفيف (13). يعد وجود معدن الكاوولين مهمه ضمن العجينة المهمأة لصناعة القرميد، لامتلاكه قوة جاف ودونة عاليتين أثناء عملية التجفيف والتشكيل (14).

أن وجود نسبة معينة من الكوارتز ضروري من الناحية الكيميائية، كونه من الأكسيدات التي تتفاعل مع الألمنيوم والكلاسيوم ليكون سيليكات الكالسيوم والألمنيوم التي تثبت بنية القرميد وتقلل من وجود أوكسيد الكالسيوم الحر والذي تؤدي زیادته إلى تشقا القرميد كذلك يساعد في على امتصاص الماء الذي يؤدي إلى انتفاخ القرميد كذلك يساعد في تكون المادة الزجاجية التي تساعده في تمسك الحبيبات (15). إن وجود المعادن الكاربوناتية بنسبة عالية في الصخور الطينية تعمل من درجة الانصهار في الوقت نفسه فان تفكك المعادن الكاربوناتية في أثناء الحرق يزيد من نسبة المسامية ونسبة امتصاص الماء وبذلك تسبب حصول تشقاً أو تكسرات في جسم القرميد (16). يعتبر معدن الفلسبار من المعادن المساعدة للانصهار، كما وان وجودها مع المعادن الأخرى يساعد على تكون الطور الزجاجي خاصة وجودها مع معدن الكوارتز حيث تبدأ بالانصهار عند تعرضها إلى الحرارة العالية وتنسر في ذلك تدريجياً إلى أن تصبح كثلاً لزجة وعند تبريدها تتصلب وتكون المادة الزجاجية التي تعطي القوة والمتانة لجسم القرميد

الجدول (6) نتائج التحليل الكيميائي للنماذج الممثلة للمقاطع الأربع المدروسة

Sample No.	SiO ₂ (%)	Fe ₂ O ₃ (%)	Al ₂ O ₃ (%)	CaO (%)	MgO (%)	SO ₃ (%)	Na ₂ O (%)	K ₂ O (%)	Cl (%)	L.O.I (%)	Total
A	38.59	4.94	11.02	15.79	6.45	3.45	1.59	1.85	0.33	15.38	99.39
B	45.64	6.68	12.75	6.86	11.52	0.46	0.38	2.56	0.02	12.51	99.38
C	43.77	4.83	12.09	8.85	9.69	0.42	0.75	2.46	0.06	15.60	98.52
D	41.42	7.25	12.01	8.79	11.39	2.64	0.25	2.21	0.02	13.48	99.46

- 12.10% (جدول 7)، وإن سبب إنخفاض نسبة

امتصاص الماء هو إن زيادة درجة حرارة الحرق تؤدي إلى عملية التلبيد (Sintering) التي تحدث نتيجة الارتفاع في درجات الحرق حيث تقارب الجزيئات فيما بينها لتخزن من نسبة المسامات وكذلك تكون الطور الزجاجي السائل بسبب انصهار بعض المعادن (18).

معامل التشبع المائي: إن معدلات معامل التشبع المائي تقل مع زيادة درجة حرارة الحرق لكل المواقع (جدول 7)، فعند درجة حرارة (900) ° تتراوح نسبتها ما بين (0.85% - 0.96%)، وعند درجة حرارة (1000) ° تتراوح نسبتها ما بين (0.89% - 0.95%).

التزهر: بعد الإطلاع على النتائج المستحصلة من فحص التزهر لعينات القرميد بعد الحرق يلاحظ إنها عند درجة حرارة (900) ° تتراوح ما بين (خفيف-متوسط)، وعند درجة الحرارة (1000) ° كانت جميعها (خفيف-معدوم)، وتقل عند درجة الحرارة (1050) ° حيث كانت جميع العينات (معدوم). (جدول 7)، وسبب ظهور التزهر في بعض العينات ناتج من الكبريتات التي تتحدد مع أحد العناصر (Ca²⁺, Mg²⁺, Na⁺, K⁺) لتكون الأملاح المسبيبة للتزهر (19). وسبب وجود التزهر هو تكون بعض التشققات الصغيرة في جسم القرميد نتيجة هروب الغازات الناتجة من تفكك المعادن الطينية والكاربوناتية أثناء عملية الحرق الذي أدى إلى امتصاص كمية أكبر من الماء مما أدى إلى زيادة عملية التزهر، أما النقصان في التزهر قد يعزى سببه إلى النقصان في قابلية امتصاص العينات للماء مع زيادة درجة حرارة الحرق فضلاً عن تفكك تركيب الأملاح الموجودة ضمن العينات بشكل عام،

القوية: بعد الإطلاع على النتائج المستحصلة في جدول (7) يلاحظ إنها عند درجة حرارة (900) ° تتراوح بين (250.34 - 735.94) وعند درجة الحرارة (1000) ° تتراوح بين (40.269.40 - 785.24) وعند درجة الحرارة (1050) ° تتراوح بين (502.39 - 738.60).

نتائج فحوصات تقييم القرميد:

اللون والشكل الخارجي: تراوحت ألوان عينات القرميد المختبرى بعد حرقها بدرجات حرارة (900 ، 1000 ، 1050) ° بين اللون البني واللون الأصفر الباهت. وبعود التغير في ألوان العينات بعد الحرق بصورة رئيسية إلى التفاعلات التي تحصل بين مكونات العجينة الطينية في إثناء الحرق، وأهم هذه التفاعلات هي أكسدة الحديد والمادة العضوية عند درجات الحرارة (350 - 950) °، وتفكك المعادن السليكاتية عند درجات الحرارة العالية التي تصل إلى حوالي (1000) ° (18).

أما الشكل الخارجي فقد إحتفظت العينات عموماً بثبات أشكالها وذات أبعاد منتظمة وزوايا قائمة وحافظتها مستقيمة وعديمة التشقق، باستثناء عينات الموقعين (D, B) التي عانت بعض التشققات القليلة مع وجود بعض الاعوجاج البسيط في سطوحها الخارجية.

التكلس الطولي: من خلال قياس أبعاد العينات وحساب نسبة التكلس الطولي تبين وجود تكلس طولي بنسب متفاوتة وباختلاف درجات حرارة الحرق (الجدول 7)، حيث تباينت هذه النسب ما بين تكلس طولي بسيط وتقلص سلبي (أي زيادة أو تعدد في الطول) وتنمعظمها يتميز بتكلس طولي بسيط، وأهم أسبابها يعود إلى فقدان الماء والأبخرة والغازات التي تشغله المسامات والفحوجات في العينات الطينية قبل الحرق، أو نتيجة عملية التزيج التي تؤدي إلى تجميع الجسيمات والتحامها مع بعضها مما يؤدي إلى التكلس الطولي للعينات من القرميد (11)، أو بسبب التغيرات في الأطوار المعدنية بعد الحرق وكذلك فقدان بعض المحتويات من العينات في أثناء عملية الحرق مثل ماء التبلور وثنائي أوكسيد الكاربون (CO₂) (18).

نسبة امتصاص الماء: من خلال النتائج نلاحظ إن معدلات امتصاص الماء تقل مع زيادة درجة حرارة الحرق لكل المواقع، فعند درجة حرارة (900) ° تتراوح نسبتها ما بين (14.45% - 20.04%)، وعند درجة حرارة (1000) ° تتراوح نسبتها ما بين (17.91% - 13.24%)، أما عند درجة حرارة (1050) ° فتراوحت نسبتها ما بين

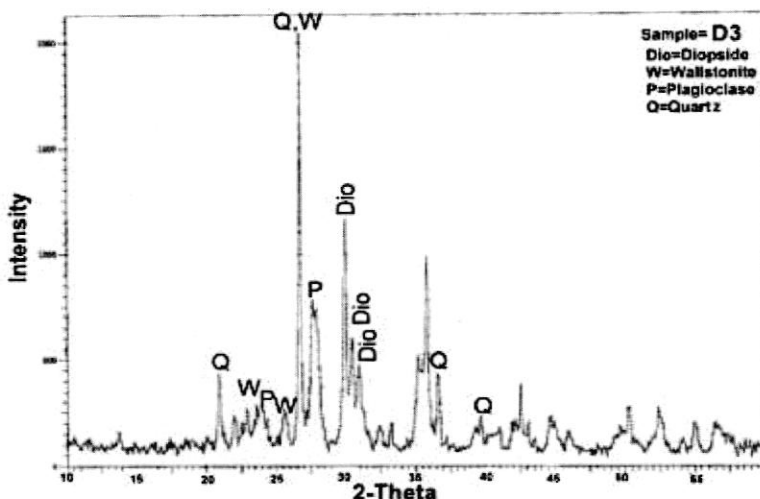
جدول (7) نتائج الفحوصات التقديمية لعينات القرميد المختبرى

القوة (N)	التزهر	معامل التسبيع المائي	امتصاص الماء (%)	النقاصل الطولي (سم)	درجة الحرارة (م)	رقم النوذج (قبل الخلط)
639.96	متوسط	0.96	16.06	0.63	900	A1
785.24	متوسط	0.95	15.52	0.63	1000	A2
733.72	خفيف	0.94	15.07	1.26	1050	A3
735.94	معدوم	0.94	15.89	1.26	900	B1
747.04	معدوم	0.89	14.23	1.26	1000	B2
638.57	معدوم	0.89	13.40	2.53	1050	B3
703.96	خفيف	0.93	20.04	0.94	900	C1
701.74	معدوم	0.93	17.91	1.26	1000	C2
722.62	معدوم	0.92	17.72	2.21	1050	C3
453.91	معدوم	0.95	19.85	2.53	900	D1
771.92	معدوم	0.93	14.53	5.06	1000	D2
738.60	معدوم	0.93	14.30	4.74	1050	D3
القوة (N)	التزهر	معامل التسبيع المائي	امتصاص الماء (%)	النقاصل الطولي (سم)	درجة الحرارة (م)	رقم النوذج (بعد الخلط)
250.34	خفيف	0.94	15.22	0.25	900	A ^s 1
343.94	معدوم	0.92	15.43	0	1000	A ^s 2
509.39	معدوم	0.86	14.10	0.25	1050	A ^s 3
365.24	خفيف	0.93	15.41	0	900	B ^s 1
269.40	خفيف	0.92	14.90	0.51-	1000	B ^s 2
502.97	معدوم	0.82	12.25	1.25	1050	B ^s 3
397.99	خفيف	0.85	14.45	0	900	C ^s 1
425.20	معدوم	0.85	14.35	0	1000	C ^s 2
520.32	معدوم	0.81	12.10	1.01	1050	C ^s 3
538.73	خفيف	0.89	16.51	1.26	900	D ^s 1
516.209	معدوم	0.86	14.45	1.26	1000	D ^s 2
598.51	معدوم	0.78	12.18	1.66	1050	D ^s 3

الحادية (XRD) وقد تبين تشكيل أطوار معدنية جديدة مثل (diopside, wollastonite and plagioclase) وبقاء قسم من المعادن الأصلية الداخلة في التفاعل مثل (Quartz).

▪ الأطوار المعدنية بعد الحرق:

جرى تحضير مسحوق العينات لجميع المواقع المختارة من القرميد المختبرى والمحروقة بدرجات الحرارة (900 ، 1000 ، 1050) م° للتعرف على الأطوار المعدنية المتكونة باستخدام تقنية الأشعة السينية



الشكل (6) مخطط حيد الاشعة السينية لاطوار المعنية المكونة بعد الحرق بدرجة حرارة (1050) م°

القياسية الامريكية (ASTM C1167-03, 2009) والتي تصنف القرميد إلى ثلاثة أصناف اعتماداً على قيم النسبة المائية لامتصاص الماء والنسبة المائية لمعامل التسخن المائي والقوة.

تقييم تربات تكون الفتحة لصناعة القرميد:

تم مقارنة نتائج الفحوصات التقديمية (الفيزيائية والميكانيكية) لعينات القرميد المختبرى المحضرة من أطيان تكون الفتحة مع المعاشرة

جدول(8) تصنيف عينات الدراسة حسب المعاشرة القياسية الامريكية 2009 ASTM C1167-03,

درجة القرميد	امتصاص الماء (%)	معامل التسخن المائي	القوة(N)	التزهير	توزيع عينات الدراسة
1	8	0.76	300		B3 ^S , C3 ^S ,D3 ^S
2	13	0.82	225		A3 ^S , B2 ^S , C1 ^S , C2 ^S , D2 ^S
3	15	0.86	225		

فضلاً عن احتواها على بعض المعادن غير الطينية مثل: الكوارتز والفلسبار والكلسيات والدولومايت والجبسوم والهيمناتيت والكروثايت بنسبي مقاومة.

2. عينات الدراسة كانت لدنة بسبب احتواها على نسبة عالية من الاطيان حيث كانت من نوع لدنة ومتوسطة اللدونة وعالية اللدونة.

3. تلونت عينات الدراسة بلون اصفر بعد الحرق وذلك نتيجة للتغيرات المعدنية وتكون اطوار معنية جديدة مع ازيداد درجة حرارة الحرق.

4. عدم ظهور نسبة عالية من التزهير بسبب قلة نسبة الاملاح في المواد الاولية المستخدمة في الصناعة

5. ازيداد مقدار القوة للنماذج للعينات قيد الدراسة مع ازيداد درجة حرارة الحرق بسبب نمو اطوار معنية جديدة ذات صلابة عالية.

6. نقصان نسبة امتصاص الماء ونسبة معامل التسخن المائي مع زيادة درجة حرارة الحرق بسبب تكون الطور الزجاجي الذي يعمل على ملء المسامات وبالتالي يقلل من نسبة مساميتها وبالتالي نقصان نسبة امتصاص الماء ومعامل التسخن المائي.

وبعد موازنة نتائج الفحوصات التقديمية لعينات القرميد المختبرى المحضرة بطريقة الكبس شبه الجاف بالمواشرة القياسية الامريكية (ASTM C1167-03, 2009) تبين ان العينات للخلطة الاولى والتي تمثل النماذج (A1, A2, A3, B1, B2, B3, C1, C2, C3,) غير مطابقة للمواشرة لذلك تم اضافة رمل تكون انجاهة لتحسين خصائصها، ومن خلال الجدول(7) نلاحظ ان العينات المحروقة بدرجة حرارة (900 م°) فاشلة عدا النموذج (C1^S) الذي يقع ضمن الدرجة الثالثة، بينما العينات المحروقة بدرجة حرارة (1000 م°) فتigue ضمن الدرجة الثالثة والتي تمثل (B2S, C2S, D2S) اما النموذج (A2^S) فاشل، اما النماذج المحروقة بدرجة حرارة (1050 م°) فتقع ضمن الدرجة الثانية والتي تمثل (B3S, C3S, D3S) بينما العينات (A3S) يقع ضمن الدرجة الثالثة.

الاستنتاجات:

1. بينت الدراسة المعنية للصخور الطينية بوساطة تقنية الاشعة السينية الحادة (XRD) بأنها تتكون من المعادن الطينية والتي تشمل الالايت والباليغورسكايت والكلورايت والكاولينايت والمونتموريليونايت،

المصادر :

- 11** Christie, T., Thompson, B. and Brathwaite, B., 2007: Mineral Commodity, Report 20 – Clays, Ins.of Geological and Nuclear Sciences, 18 pp.
- 12** Connan, H.A., Thomas, P. and Guerbois, J.P., 2007: Effect of Autoclaving Temperature on Calcium Silicate- Based Building Products Containing Clay-Brick Waste, Australia, Journal of Thermal Analysis and Calorimetry, University of Technology, Collage of Science, Vol. 88, No.1. pp. 155-119.
- 13** Al- Ajeel, A., Abdullah, S. N. and Mustafa, A. M., 2008: Beneficiation of attabulgit montmorillonite claystone by dispersion sedimentation. Iraqi Bulletin of geology and Mining, Vol.4, No. 1, pp. 117-124.
- 14** Al- Ejandre, F. J., Villegas, R., Jurado, M., 2009: Brick Durability and Conservation Treatment, Santa Maria, Seville, Spain, Mater Construction, Vol. 59, 293, pp.85-103.
- 15** البصام ، خلون صبحي ، 2004 : تقييم الموصفات الفيزيائية والكيميائية للمواد الأولية المستعملة في صناعة الطابوق المفخور (الأجر) ، الشركة العامة للمسح الجيولوجي والتعمين ، تقرير داخلي ، رقم التقرير (2873) ، بغداد ، 45 صفحة.
- 16** Tamar-Agha, M. Y., 1997: Assessment of Some Kaolinite Clays From Western Iraq for Ceramic and Refractory Industries processes Second Jordanian Conference on Mining, 26 – 29 April, 1997, pp. 316 – 333.
- 17** Poppe, L.J., Paskevish, V.F, Hathaway, J.C. and Blackwood, D.S., 2002: Laboratory Manual for X-Ray Powder Diffraction, V.S. Geological Survey Open-File Report, pp. 1-41
- 18** Frank, H., 1975: The Potters Dictionary of Materials and Technique. 1st, edit., Great Britain, 250 p.
- 19** Mackenzie, R. C., 1972: Differential Thermal Analysis Academic press Inc., London, 607p
1. Al-Rawi, Y.T., Sayyab, A.S., Jassim, J.A., Tamar- agha, M.Y., Al- Sammai, A.I., Karim, S.A., Basi, M.A., Dhiab, S.H., Faris, F.M., and Anwar, F., 1992. New Name for Some of the Middle Miocene- Pliocene Formation, Iraqi Geological Journal Vol. 1, pp. 1-18.
2. Buday, T. and Jassim, S., 1987: The Regional Geology of Iraq (tectonism and magnetism), D.G. of Geol. Sur. and Min. Inv., Baghdad, Iraq, 322 p.
3. Al-Mubarak, M., and Youkhana, R., 1978. The regional Geological Mapping of Al-Fatha - Mosul area. State Organization for Minerals (SOM). Library report, Baghdad
4. Jassim, S.Z., and Goff, J.C., 2006. Geology of Iraq, Published bu Dolin, prague and Musem, Brno Czech Republic, 2006, 337p
5. Basi, M.A., 1973: Geology of Injana Area, Hemrin South -Unpubl. M. Sc. Thesis, University of Baghdad, Iraq, 127 p.
6. بطرس ، ربي جمال بطرس ، 2005 : معاملة الكاولين العراقي واستخدامه في تصنيع قرميد الاسطح السيراميكي ، رسالة ماجستير غير منشورة، قسم هندسة المواد ، الجامعة التكنولوجيا، 77 صفحة.
7. Erfan ,S., 1995. Ability study of manufacturing roofing tiles from local soil . GEOSURV Baghdad, Int.Rep.no.(1457) ,25 pp.
8. Tamar-Agha, M. Y., 1997: Assessment of Some Kaolinite Clays From Western Iraq for Ceramic and Refractory Industries processes Second Jordanian Conference on Mining , 26 – 29 April , 1997 , pp. 316 – 333.
- 9 Folk, R.L., 1974: Petrology of Sedimentary Rocks, Hemphill public. Co. Texas, U.S.A. 182 p.
- 10 Budnikov, P.P., 1964: The Technology of Ceramics and Refractories, M.I.T. Press, Massachusetts Institute of Technology, Cambridge, p.647.

Suitability of Fatha Formation clays for Roofing Tiles from Selected Locations/Salah Al-Din governorate

Asawer Talal Ibrahim, Ass. SawsanHameed Al-Hazaa, AbdulSalam Mehdi Salih
Department of Applied Geology , Collage of Science , University of Tikrit , Tikrit , Iraq

Abstract

The present study deals with the suitability of Fat'ha Formation clays for manufacturing of roofing tiles industry in Al-Ziwiya Area, Salahalddin Governorate/ Northern Iraq through four selected outcrop sections (A, B,C and D). The XRD analysis shows that these clays are mainly composed of clay minerals like: illite, palygorskite, chlorite, kaolinite and montmorillonite, in addition to the non-clay minerals like: quartz, feldspar, calcite, dolomite, hematite, goethite and gypsum.

Chemical analysis of the studied outcrops of Fat'ha deposits revealed that they are composed of several oxides. The Results of the physical properties of studied samples, in terms of Grain size analysis shows the types as sandy mud, mud and clay and characterized as Plastic, medium plasticity and high plasticity and can be easily formed and appropriate to the tiles industry, the plasticity increased with clay fraction.

120 test tiles size 8 * 4* 1 cm were prepared using the semi-dry pressing method and fired at temperatures 900, 1000, and 1050°C. The physical and mechanical tests for the briquettes (small tiles) were conducted after firing which includes: color, linear shrinking, water absorption, water saturation coefficient, efflorescence, and strength. The results show decreases in the rate of water absorption, water saturation coefficient and efflorescence with increase of temperature. Also the rate of linear shrinking in most of the studied samples increases with temperature. The colors of the samples ranged from light brown to pale yellow. The recognized minerals after firing for the briquettes by XRD showed the presence of new phases and minerals such as: diopside, wollastonite, mullite, forsterite, and anorthite due to the decomposition of essential minerals and many reactions between the ions.

The evaluation tests for the suitability of Fat'ha Formation clays of the studied area for roofing tiles industry are carried out on the channel sample, which shows that these deposits can be used for this industry of class 2 and 3 according to the American Standard (ASTM C-1167-03,2009).